

基于大语言模型的缺陷定位的实证研究

肖英剑¹、龚玮玮¹、胡荣群¹、李宏伟²、揭安全²

1、南昌理工学院计算机信息工程学院

2、江西师范大学人工智能学院

摘要：大语言模型 (LLMs) 在代码任务中表现卓越，特别是在自动程序修复领域展现出强大能力，然而修复效果高度依赖于上游的故障定位性能，目前却缺乏对该任务的专门评估。本文对大语言模型在语句级别的代码故障定位任务中的性能进行了系统的实证研究，本文选取了具有代表性的开源模型 (Qwen2.5-coder-32b-instruct、DeepSeek-V3) 和闭源模型 (GPT-4.1 mini、Gemini-2.5-flash)，在 HumanEval-Java 和 Defects4J 数据集上评估其故障定位能力。研究系统分析了不同提示策略 (包括标准提示、Few-shot 示例和思维链推理) 对模型性能的影响，并从准确率、时间效率和经济成本三个维度进行了综合分析。实验结果表明，提供 bug 报告上下文信息能够显著提升模型性能，Few-shot 学习表现出一定的改进潜力但存在明显的边际效益递减现象，而思维链推理的效果高度依赖于模型自身的推理能力。本研究不仅揭示了不同模型在故障定位任务中的性能特征与权衡关系，还为理解现有 LLM 的故障定位能力表现及通过策略应用提升定位效果提供了关键见解。

【关键词】：大语言模型、缺陷定位、提示工程、思维链推理；Few-shot 学习
Large language models, defect localization, prompt engineering, chain-of-thought reasoning; Few-shot learning

1. 引言

随着大语言模型 (Large Language Models, LLMs) 在自然语言处理领域的飞速发展，其在软件工程中的应用也呈现出爆发式增长，逐步渗透到代码补全、单元测试生成、代码摘要生成等多个任务中[1][2]。这些模型通过对大量自然语言与编程语言数据的联合训练，展现出了强大的代码理解与生成能力，为构建智能化、自动化的软件开发工具奠定了基础[3]。

在众多应用场景中，程序自动修复（Program Repair）任务成为研究热点之一。已有研究表明，LLMs 在自动生成补丁方面表现出显著潜力，能够在无需精细调优的情况下修复一部分真实世界中的代码缺陷[4][5]。例如，Wu 等人[6]和 Jiang 等人[7] 分别对 ChatGPT 和 Claude 等闭源模型进行了修复性能评估，并在 Defects4J 等数据集上取得了良好结果。此外，一系列创新方法也应运而生，Li 等人[29]提出的 GiantRepair 融合了大语言模型与程序分析，通过补丁骨架与上下文实例化实现高效程序修复；Li 等人[30]的 CodeCorrector 通过分析测试失败信息推断修复方向，据此自适应选择相关代码上下文，构建精准提示来指导补丁生成；ThinkRepair[31]通过“收集-修复”两阶段实现自动程序修复：首先自动收集带推理的修复示例形成知识库，修复时则结合少样本学习与迭代测试反馈，引导 LLM 生成正确补丁。然而，这些研究主要集中于“生成修复”这一后阶段任务，而对其前置步骤——缺陷定位（Fault Localization）的研究却显得相对稀缺。

缺陷定位的目标是帮助开发者快速识别出代码中可能存在缺陷的位置，是自动化程序修复流程中的关键环节。然而，目前关于 LLM 在缺陷定位中的能力仍处于探索初期。仅有少量研究初步验证了 ChatGPT、CodeLlama 等模型在缺陷定位中的潜力[8][9]，但这些研究通常缺乏系统的模型对比分析、提示工程（Prompt Engineering）策略探讨，以及对时间与经济成本的量化评估。因此，LLMs 在缺陷定位任务中的整体能力、适用性和成本效益仍存在明显的研究空白。

为填补这一空白，本文对多种大语言模型在语句级别的缺陷定位任务中的性能进行了系统实证研究。我们选取了开源模型（Qwen、DeepSeek）与闭源模型（ChatGPT、Gemini）作为研究对象，结合 One-shot、Few-shot 以及 Chain-of-Thought (CoT) 等提示策略，全面评估了不同模型在缺陷定位中的表现。我们在两个场景进行了实验：一个基于人工标注缺陷的 HumanEval-Java 数据集，用于分析模型在受控条件下的基础定位能力；另一个基于真实项目中的 Defects4J 数据集，用于检验模型在工业级缺陷上的实用性。通过一系列实证实验，我们不仅对模型定位性能进行了量化评估，还从时间开销与经济成本等维度进行了深入分析，为 LLM 在缺陷定位任务中的选型与优化提供了理论与实践参考。

总结而言，我们的研究做出了以下主要贡献：

(1) 我们进行了一项实证研究, 评估了多种大语言模型 (LLM) 在故障定位任务中在两个不同数据集上的表现;

(2) 我们探索了多种提示工程策略, 包括 Zero-shot、Few-shot 和链式思维, 以提升定位能力。

(3) 我们提供了模型效率的分析, 包括它们的时间消耗和相关的经济成本。

本文的其余部分组织结构如下: 第二部分回顾了故障定位的相关工作; 第三部分介绍了研究设计, 包括 Research Questions, Evaluation Benchmark、Evaluation Models 和 Evaluation Metrics; 第四部分展示了实验设置并对其分析; 第五部分讨论了 Threats to Internal Validity, Threats to Construct Validity, Threats to External Validity; 第六部分总结了本文并提出了未来的研究方向。

2. 相关工作

本节将从以下四个方面综述与本研究相关的文献与研究进展: (1) 传统缺陷定位方法; (2) 基于深度学习的缺陷定位方法; (3) 大语言模型在程序修复与缺陷定位中的应用; (4) 提示工程与思维链推理在软件工程中的发展。

2.1 传统缺陷定位方法

传统缺陷定位方法主要分为两类: 静态分析与动态分析。静态分析通过分析程序的语法、控制流图 (CFG) 、数据流等静态结构特征, 检测潜在的缺陷位置 [10]。而动态分析依赖测试用例的执行结果, 通过收集执行信息来推断可疑代码位置。最具代表性的动态方法是谱系法 (Spectrum-Based Fault Localization, SBFL), 包括 Tarantula、Ochiai、DStar 等算法[11][12], 这些方法利用通过与失败测试用例对程序语句的覆盖率差异, 计算每一行代码的可疑度评分。

虽然这些方法具有一定的效率和解释性, 但它们往往依赖高质量的测试用例覆盖信息, 且无法捕捉代码深层语义信息, 在复杂项目和跨模块缺陷场景下性能受到较大限制[13]。

2.2 基于深度学习的缺陷定位方法

近年来, 深度学习技术被广泛应用于缺陷定位任务, 通过从大规模标注数据中学习代码的结构与语义表示, 实现更强的定位能力。Yin 等人提出的多图学习

方法结合图神经网络 (GCN) 与缺陷报告语义, 实现了结构与文本信息的融合[14]; Majd 等人构建了 SLDeep 模型, 基于 32 种语句级静态特征并结合 LSTM 网络进行缺陷预测[15]。

DeepLineDP 模型利用双向 GRU 与分层注意力机制, 实现了从文件级到行级的缺陷定位[16]。此外, Li 等人提出的 DEEPRL4FL 方法将代码覆盖矩阵视为图像输入, 通过 CNN 和强化学习框架进行可疑语句识别, 有效提升了模型对失败测试用例的处理能力[17]。

尽管深度学习方法在性能上取得一定突破, 但其依赖大量标注数据, 泛化能力有限, 难以直接应用于数据稀缺或场景复杂的工业系统。

2.3 大语言模型在缺陷定位与程序修复中的应用

大语言模型 (LLMs) 近年来在代码生成、程序修复等任务中展现出强大能力。Wu 等人评估了 ChatGPT 在 Defects4J 数据集上的表现, 发现其在无需训练的前提下可自动生成高质量补丁[18]; Yang 等人提出 LLMAO 框架, 将 LLM 应用于无测试用例场景下的缺陷定位, 发现其在函数级上下文下具有良好精度[19]。

Jiang 等人对多个闭源模型 (如 GPT-4、Claude) 在缺陷定位与修复任务中的性能进行了系统比较, 指出现有模型在一致性与推理深度上仍存在差距[20]。与此同时, Silva 等人构建了 GitBug-Java 数据集, 用于支持 LLM 在真实 Java 缺陷定位任务中的评估, 具有更高的可重现性与时效性[21]。

虽然已有研究初步验证了 LLM 在缺陷定位上的潜力, 但对其不同模型类型 (如开源 vs 闭源) 、不同提示策略 (如 Few-shot、CoT) 的影响仍缺乏系统性实证分析, 且极少研究关注其推理过程的可解释性及运行成本等现实因素。

2.4 提示工程与思维链推理在软件工程中的发展

提示工程 (Prompt Engineering) 是近年来提升大语言模型性能的重要技术路径。Few-shot Learning 通过提供少量示例输入, 有效提升模型对任务结构与意图的理解能力; 而 Chain-of-Thought (CoT) 推理则通过引导模型进行逐步逻辑分析, 提高其在复杂任务中的推理与解释能力[22]。

Wei 等人最早提出 CoT 提示方式, 并在数学推理任务中取得显著效果[23]。在软件工程领域, Kang 等人将 CoT 引入 LLM 缺陷定位任务中, 发现模型在

加入思维链后能更清晰解释其决策过程[24]。此外, ReAct、Tree-of-Thought、CodeChain 等多步推理策略也在代码理解、调试、修复等任务中取得积极探索成果[25][26][27]。

将提示工程与 CoT 策略引入缺陷定位任务, 不仅可以提升模型精度, 还能增强其对定位过程的可解释性, 值得进一步系统性研究与实证验证。

3. 研究设计 STUDY DESIGN

3.1 Research Questions

为全面探究大语言模型在缺陷定位任务中的能力与适用性, 本文提出以下四个研究问题:

RQ1:开源和闭源大语言模型的缺陷定位能力怎么样? 本研究将比较开源和闭源大语言模型在不同数据集上的定位能力, 分析其在定位任务中的优劣与适配场景。

RQ2:Few-shot learning 是否可以提升大语言模型在缺陷定位的性能? 本研究将探索不同 shot 数(如 1-shot、2-shot 和 3-shot)下模型性能的变化, 评估 Few-shot 对提升定位效果的贡献。

RQ3:思维链能否提升大语言模型定位缺陷的性能? 本研究比较引入与不引入 CoT 提示的模型定位精度, 分析其对推理路径和性能的实际影响。

RQ4:大语言模型在缺陷定位中的时间和花费成本如何? 本研究对各模型在不同提示设置下的时间开销和 token 计费成本进行测量和对比, 分析其效率与性价比。

3.2 Evaluation Benchmark

本研究将使用程序修复的数据集 HumanEval-Java 和 Defects4J V1.2.0, 这些数据集为大语言模型在软件缺陷定位任务中的应用提供了重要的训练和评估数据。

HumanEval-Java 数据集是为了避免数据泄漏而创建的, 特别是考虑到常见的代码语言模型 (CLMs) 可能在训练中接触过旧的 bug 基准。该数据集包含 164 个 Java bug, 涵盖从简单的运算符错误到需要多行修改的复杂逻辑 bug。这些 bug 手动注入到正确的 Java 程序中, 并配有 JUnit 测试用例, 确保任何 CLM 在预训练时没有见过这些数据, 是进行 APR 任务评估的公平基准[28]。

Defects4J v1.2.0 是一个用于软件缺陷定位的开源数据集, 包含 6 个开源项

目中的 395 个缺陷。每个缺陷都有详细的 bug report 和测试用例，适用于评估和优化缺陷定位方法。

表 1 HumanEval-Java 和 Defects4J 数据集信息

数据集名称	bug 数量	规模	来源	年份
HumanEval-Java	164	小	人工生成	2023-9
Defects4J	395	中等	真实项目	2018-2

3.3 Evaluation Models

为系统评估不同类型大语言模型在缺陷定位任务中的表现，本研究选取了四个主流模型，涵盖闭源模型（ChatGPT、Gemini）与开源模型（CodeQwen、DeepSeek）。这些模型在代码生成、程序修复与推理任务中表现优异，具有较高的代表性和实用价值，能够有效支持缺陷定位任务的多角度分析。

本研究选用 ChatGPT 的 GPT-4.1 mini，该模型是 OpenAI 发布的轻量化版本的 GPT-4，相较于标准 GPT-4 模型，GPT-4.1 mini 在计算资源和响应速度上进行了优化，能够快速处理任务并降低资源消耗，该模型适用于复杂代码分析、测试生成与程序修复任务，GPT-4.1 mini 在多个商业化场景中得到广泛应用。

本研究选用 Qwen 的 qwen2.5-coder-32b-instruct 模型，该模型是阿里巴巴于 2024 年发布的开源大模型，专为代码理解与生成任务优化，参数规模达 320 亿。该模型基于 Qwen2.5 主干，通过指令微调方式训练，支持多语言编程任务，在多个评测中性能优异，体现出国产开源模型在软件工程任务中的进展。

本研究选用 Gemini 的 Gemini-2.5-Flash 模型，该模型是 Google DeepMind 发布的闭源多模态大语言模型，具备文本、代码、图像等多模态处理能力。该模型引入“动态思考”机制，在提升推理能力的同时保持低延迟和高效响应，适用于复杂代码分析与缺陷定位等高要求软件工程任务。

本研究选用 DeepSeek 的 DeepSeek-V3 模型，是由深度求索团队推出的源大模型，采用自然语言与编程语言混合预训练策略。模型支持中英双语输入，具备良好的代码理解与生成能力，适用于多种软件工程场景中的任务调用与集成。

表 2 模型基本信息

Model	Model Size	Release time	knowledge cutoff	Type
GPT-4.1 mini	未公开	2025-04	2024-06	闭源
Qwen2.5-coder-32b-instruct	32.5B	2024-11	2023-10	开源
Gemini-2.5-flash	未公开	2025-04	2025-01	闭源
DeepSeek-V3	671B	2024-12	2024-07	开源

3.4 Evaluation Metrics

本文选用 Top@k 和 Pass@k 作为主要评估指标，以衡量大语言模型在多次尝试下定位缺陷的准确性与稳定性[7]。本研究要求模型完全覆盖文件中每个缺陷行才视为定位成功，这一严格标准避免了部分定位正确的误判，保证评估结果更符合实际工程需求。

Top@k: 该指标用于评估模型在有限尝试次数内，是否能够正确定位缺陷所在的代码行。具体而言，模型会生成 K 个可能的缺陷位置，如果其中至少有一个位置是正确的，则认为问题已被解决。

Pass@k: 这个指标计算的是在 K 次尝试中，模型成功定位到正确缺陷位置的概率，考虑到多个生成结果中的正确分布。其公式为：

$$\text{Pass}@k = \mathbb{E}_{\text{problems}} \left[1 - \frac{\binom{n-c}{k}}{\binom{n}{k}} \right]$$

其中 n 是生成的总样本数 (本研究取 n=13)；c 表示每次尝试中与真实缺陷完全匹配的次数；k 是考虑的尝试次数 (本研究取 k=1,5,10)。

因此，本研究将使用 Top@5、Top@10、Pass@1、Pass@5、Pass@10 共五个指标来评估大模型在缺陷定位任务中的表现[7]。

4. EXPERIMENTS & RESULTS

4.1 RQ1: How effective are open-source and closed-source large language models in defect localization? 开源和闭源大语言模型在缺陷定位中的效果如何？

[Experiment Goal]: 本实验旨在比较开源模型(Qwen、DeepSeek)与闭源模型(ChatGPT、Gemini)在缺陷定位任务中的性能表现。通过在 HumanEval-Java 和 Defects4J 两个数据集上评估，验证不同类型大语言模型在缺陷定位任务中的有效性。

[Experiment Design]: 为系统比较开源与闭源模型在缺陷定位任务中的性能差异, 本研究采用 Standard Prompting 策略对四个模型进行统一评估。实验使用 HumanEval-Java 和 Defects4J 两个数据集, 并采用 Top@5、Top@10、Pass@1、Pass@5 和 Pass@10 作为统一评估指标。针对 Defects4J 数据集包含 bug 报告的特点, 我们分别设计了包含 bug report 和不包含 bug report 的两种提示方式; 而对于 HumanEval-Java 数据集, 所有实验均采用无 bug report 的提示方式。

[Experimental Results]: 实验结果显示, 在 HumanEval-Java 数据集上, Gemini-2.5-flash 表现最佳, 所有评估指标均优于其他模型, 其 Top@5 和 Pass@10 分别达到 65.03% 和 68.73%。与之相比, Qwen2.5-coder-32b-instruct 的表现最差, 特别是在 Pass@1 和 Top@10 指标上显著低于 Gemini-2.5-flash。GPT-4.1 mini 和 DeepSeek-V3 的表现相近, 但均逊于 Gemini-2.5-flash。

在 Defects4J 数据集上, 提供 bug 报告信息显著提升了所有模型的性能表现。Gemini-2.5-flash 在提供 bug 报告的情况下表现最优, Top@5 和 Pass@1 分别达到 23.67% 和 17.81%。Qwen2.5-coder-32b-instruct 和 DeepSeek-V3 在无 bug 报告时表现较差, 但在提供 bug 报告后性能得到了显著改善。

表 3 HumanEval-Java 数据集在 Zero-Shot 设置下的性能对比 (%)

Model	Top@5	Top@10	Pass@1	Pass@5	Pass@10
GPT-4.1 mini	50.00%	51.83%	45.97%	51.28%	52.13%
Qwen2.5-coder-32b-instruct	46.63%	50.92%	37.71%	47.95%	50.65%
Gemini-2.5-flash	65.03%	67.48%	52.90%	65.59%	68.73%
DeepSeek-V3	52.15%	53.37%	46.15%	52.88%	54.69%

表 4 Defects4J 数据集在 Zero-Shot 设置下的性能对比 (%)

Model	Without Bug Report Context					With Bug Report Context				
	Top @5	Top @10	Pass @1	Pass @5	Pass @10	Top @5	Top @10	Pass @1	Pass @5	Pass @10
GPT-4.1 mini	3.90 %	3.90 %	2.95 %	3.77 %	4.02 %	15.1 5%	15.62 %	12.9 6%	15.0 2%	15.45 %
Qwen2.5-coder-3 2b-instruct	4.90 %	5.59 %	3.16 %	4.69 %	5.32 %	13.7 5%	15.38 %	9.58 %	13.7 8%	15.01 %
Gemini-2.5-flash	6.08 %	6.08 %	4.59 %	5.95 %	6.08 %	23.6 7%	24.36 %	17.8 1%	22.4 9%	23.81 %
DeepSeek-V3	2.10 %	2.56 %	1.29 %	2.45 %	2.91 %	11.5 6%	11.56 %	9.61 %	11.0 6%	11.56 %

Finding 1:Gemini-2.5-flash 在两个数据集上均表现出色，体现了该模型在不同类型缺陷定位任务中的强大适应性和泛化能力。

Finding 2:bug 报告信息的引入显著提升了模型性能，表明丰富的上下文信息能够有效增强模型对缺陷的理解和定位准确性。

4.2 RQ2:Can Few-shot learning enhance the performance of large language models in defect localization?少样本学习能提高大语言模型在缺陷定位中的性能吗？

[Experiment Goal]:本实验旨在探索少样本学习 (Few-shot learning) 对大语言模型缺陷定位性能的影响。通过比较不同数量示例 (one-shot、two-shot、three-shot) 对模型性能的作用，评估少样本学习在缺乏大量标注数据场景下的有效性。

[Experiment Design]:基于 RQ1 的实验设计，本研究选取相同的四个大语言模型，在 HumanEval-Java 与 Defects4J 数据集上分别进行 13 轮实验。通过 one-shot、two-shot 和 three-shot 三种少样本学习场景对模型性能进行评估，并使用统一的指标进行量化分析。需要说明的是，在 Defects4J 数据集上，少样本学习提示均结合了 bug report 信息，而标准提示未包含 bug report 信息。

[Experimental Results]:实验结果显示，在 HumanEval-Java 数据集上，少样本学习相比标准提示模式展现出不同程度的性能改善。具体而言：GPT-4.1 mini 在 one-shot 与 two-shot 设置下各项指标均优于标准提示，其中 two-shot 表现最佳，而 three-shot 则出现轻微退化；Qwen2.5-coder-32b-instruct 在 one-shot 设置下表现略优于标准提示，但随着示例数量增加，效果逐渐下降；Gemini-2.5-flash 在 Few-shot 设置下与标准提示相比总体保持稳定，其中 one-shot 在 Top@5、Top@10 和 Pass@10 上有一定提升，而 two-shot 和 three-shot 并未表现出优势；DeepSeek-V3 在 three-shot 时取得了最优效果，Pass@5 与 Pass@10 均显著高于标准提示。

在 Defects4J 数据集上，由于 Few-shot 提示均包含了 bug report 信息，其性能显著优于无 bug report 的标准提示。与有 bug report 的标准提示相比，少样本学习的提升效果因模型而异：GPT-4.1 mini 在 Few-shot 设置下的表现略低于提供 bug report 的提示，但差距较小；Qwen2.5-coder-32b-instruct 在 one-shot 和 two-shot 中多项指标明显优于提供 bug report 的标准提示，three-shot 稍有降低；

Gemini-2.5-flash 在 Few-shot 条件下的表现与提供 bug report 的标准提示相近；DeepSeek-V3 在 one-shot 和 two-shot 条件下大多数指标高于提供 bug report 的标准提示，three-shot 则略有下滑。总体来看，增加示例数量并未带来稳定的性能提升。

表 5 HumanEval-Java 数据集在 Few-Shot 设置下的性能对比 (%)

表 6 Defects4J 数据集在 Few-Shot 设置下的性能对比 (%)

Finding 1:在标注数据稀缺的场景下，少样本学习仍可有效提升部分大语言模型在缺陷定位任务中的性能表现。

Finding 2:对于多数模型，通常提供两个示例 (two-shot) 通常可达到最佳性能提升效果；进一步增加示例数量并未带来稳定提升，甚至在部分模型上出现轻微退化，表明 Few-shot 存在明显的边际效应。

4.3 RQ3: Can chain-of-thought (CoT) enhance the performance of large language models in defect localization? 思维链(CoT)能增强大语言模型在缺陷定位中的性能吗？

[Experiment Goal]:本实验旨在探索思维链 (CoT) 推理策略是否能够提升大语言模型在缺陷定位任务中的性能。通过在标准提示中引入多步推理过程，评估 CoT 评估 CoT 能否增强模型对代码语义的理解，并提升其在复杂缺陷定位任务中的表现。

[Experiment Design]:与 RQ1 实验设计类似，通过在标准提示中引入思维链推理。采用包含多步推理指引的 CoT 提示模板，在 HumanEval-Java 和 Defects4J 数据集上对四个模型进行测试。通过系统比较 CoT 提示与标准提示在 Top@5、Top@10、Pass@1 等五项关键指标上的性能差异，综合分析 CoT 策略的有效性和适用范围。

[Experimental Results]:实验结果显示，在 HumanEval-Java 数据集上，CoT 推理模式整体未能显著提升模型性能。GPT-4.1 mini 与 DeepSeek-V3 在 CoT 模式下出现明显性能下降，Qwen2.5-coder-32b-instruct 与 Gemini-2.5-Flash 则保持相对稳定但未显示显著改善，表明在合成缺陷场景中 CoT 的效果具有不稳定性。

在 Defects4J 数据集上，CoT 的表现呈现显著的模型差异性：DeepSeek-V3 和 Qwen2.5-coder-32b-instruct 在 CoT 模式下性能大幅提升，所有指标均显著优于提供 bug report 信息的标准提示；GPT-4.1 mini 仅有 Top@5 有提升；而 gemini-2.5-flash 则未实现性能提升。

表 7 HumanEval-Java 数据集在 COT 设置下的性能对比 (%)

Model	Top@5	Top@10	Pass@1	Pass@5	Pass@10
GPT-4.1 mini	34.36%	35.58%	22.56%	32.81%	35.86%
Qwen2.5-coder-32b-instruct	46.63%	47.24%	36.24%	45.54%	47.37%
Gemini-2.5-flash	63.80%	66.87%	50.68%	63.43%	67.74%
DeepSeek-V3	47.85%	50.31%	44.31%	48.69%	49.85%

表 8 Defects4J 数据集在 COT 设置下的性能对比 (%)

Model	Top@5	Top@10	Pass@1	Pass@5	Pass@10
GPT-4.1 mini	14.69%	15.15%	13.14%	14.56%	15.02%
Qwen2.5-coder-32b-instruct	16.08%	17.02%	10.72%	14.81%	16.63%
Gemini-2.5-flash	18.84%	18.84%	16.64%	18.76%	18.84%
DeepSeek-V3	19.11%	19.58%	14.60%	17.92%	19.07%

Finding 1:思维链 (CoT) 策略在缺陷定位中的有效性呈现出显著的模型依赖性与任务复杂性关联特征。对于结构相对简单的代码缺陷，模型的定位性能主要由其固有的代码理解与推理能力决定；而在处理结构复杂的缺陷时，CoT 能够通过显式的多步推理过程有效提升定位性能，但这种提升效果仍高度依赖于模型自身的推理能力。

4.4 RQ4:What are the time and cost implications of large language models in defect localization?大语言模型在缺陷定位中的时间与经济成本如何？

本研究从时间效率和经济性两个维度评估大语言模型在缺陷定位任务中的实际应用成本，为工业界模型选型提供参考依据。

4.4.1 时间开销分析 Time Overhead Analysis

[Experiment Goal]:本实验旨在量化评估不同大语言模型在代码缺陷定位任务中的时间效率，系统测量各模型在多种提示策略下的推理耗时。

[Experiment Design]:在不提供 bug 报告标准提示、提供 bug 报告标准提示、少样本学习和思维链 (CoT) 四种模式下，对四个模型进行 13 轮推理时间测量。将每次推理时间按成功与失败分组，计算每个文件的平均耗时，并使用箱线图可视化分布，同时采用 Scott-Knott ESD 检验进行统计显著性分析。

[Experimental Results]:实验结果显示，在 HumanEval-Java 数据集上，四个模型的时间开销差异显著：GPT-4.1 mini 与 Qwen2.5-coder-32b-instruct 效率最高，平均耗时 1-2 秒，且随 Few-shot 示例数量增加仅略有上升；DeepSeek-V3 的平均耗时稳定在 7-11 秒；Gemini-2.5-Flash 的平均耗时最长，通常超过 9 秒，在 CoT 模式下最大耗时超过 30 秒，表明其复杂推理计算开销较大。

在 Defects4J 数据集上，由于代码规模更大，整体耗时普遍增加：GPT-4.1 mini 仍保持最快的推理速度，平均耗时在 1-3 秒；Qwen2.5-coder-32b-instruct 模型相

对稳定，平均耗时在 2-5 秒，仅有标准 prompt 下定位失败的平均耗时增至 14.04 秒；DeepSeek-V3 平均耗时在 3-9 秒，在标准 prompt 下定位失败的平均耗时为 22.96 秒；Gemini-2.5-Flash 的平均耗时最长，定位成功约 9 秒，定位失败在 20 秒以上；值得注意的是，提供错误报告信息能显著缩短所有模型的推理时间。



图 1 在 HumanEval-Java 数据集的时间开销

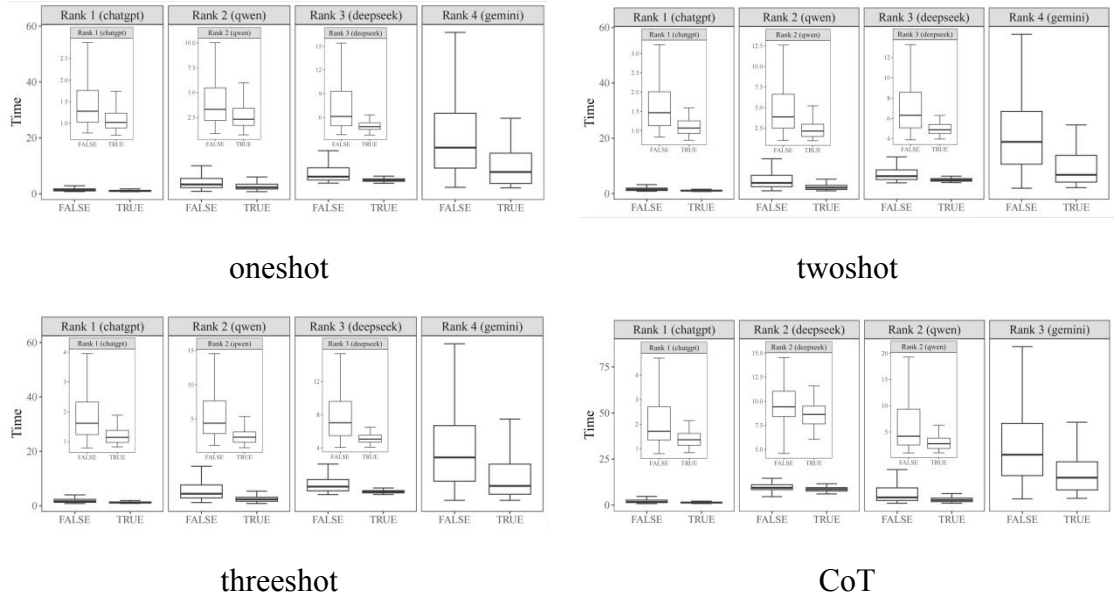


图 2 在 Defects4J 数据集的时间开销

Finding 1:定位失败的任务普遍耗时更长，尤其在 Defects4J 数据集中差异尤为明显。

Finding 2:提供 Bug 报告信息能够显著降低模型完成缺陷定位的时间，提高任务处理效率。

4.4.2 经济成本分析 Economic Cost Analysis

[Experiment Goal]:本实验旨在评估大语言模型在缺陷定位任务中的 API 调用成本，为实际应用提供经济性分析。

[Experiment Design]:本实验采用标准提示策略，记录每个模型 13 轮 API 调用的输入输出 token 数量，基于官方定价计算平均单轮调用成本。

[Experimental Results]:实验结果显示，在 HumanEval-Java 数据集上，GPT-4.1 mini 和 Gemini-2.5-flash 的单轮调用成本为 \$0.024 和 \$0.030，而 Qwen2.5-coder-32b-instruct 和 DeepSeek-V3 的成本分别为 ¥0.144 和 ¥0.153。在 Defects4J 数据集上，GPT-4.1 mini 的成本最高，为 \$1.917，DeepSeek-V3 的费用为 ¥10.541，Gemini-2.5-flash 的成本为 \$1.344，Qwen2.5-coder-32b-instruct 的成本最低，为 ¥8.642。

表 9 HumanEval-Java 任务中不同模型单轮 API 调用成本比较

Model	Input Tokens	Output Tokens	Input Price	Output Price	Total Cost
-------	--------------	---------------	-------------	--------------	------------

GPT-4.1 mini	55890	8863	\$0.4/1M Tokens	\$1.6/1M Tokens	\$0.024
Qwen2.5-coder-32b-instruct	55880	5406	¥ 0.002/1K Tokens	¥ 0.006/1K Tokens	¥ 0.144
Gemini-2.5-flash	60926	5060	\$0.30/1M Tokens	\$2.5/1M Tokens	\$0.030
DeepSeek-V3	55074	5415	¥ 2/1M Tokens	¥ 8/1M Tokens	¥ 0.153

表 10 Defects4J 任务中各模型单轮 API 调用费用比较

Model	Input Tokens	Output Tokens	Input Price	Output Price	Total Cost
GPT-4.1 mini	4716530	189341	\$0.4/1M Tokens	\$1.6/1M Tokens	\$1.917
Qwen2.5-coder-32b-instruct	3531194	263221	¥ 0.002/1K Tokens	¥ 0.006/1K Tokens	¥ 8.642
Gemini-2.5-flash	4253657	27126	\$0.30/1M Tokens	\$2.5/1M Tokens	\$1.344
DeepSeek-V3	3532065	434603	¥ 2/1M Tokens	¥ 8/1M Tokens	¥ 10.541

Finding 1: API 调用成本主要受输入输出 token 数量及厂商定价策略影响, 总体而言, 闭源模型的 API 调用费用普遍高于开源模型。

5. THREATS TO VALIDITY

Threats to Internal Validity. 本研究的内部有效性威胁主要受到以下两方面的影响: 首先, 提示工程的具体实施可能引入偏差。尽管我们为每种策略 (如 Standard、Few-shot、CoT) 设计了标准化模板, 但提示词中示例的选择、措辞的细微差别以及思维链推理步骤的引导方式仍可能对模型的输出产生不可控的影响。为缓解这一问题, 我们在所有实验条件下采用统一固定的提示结构, 并对 Few-shot 示例进行了精心筛选以确保其代表性和中立性; 其次, 外部 API 服务的性能波动 (如网络延迟、服务器负载) 以及模型本身的随机性也可能对结果造成干扰。为此, 我们通过多次重复实验 (13 轮) 并计算统计指标 (如 Pass@k) 以降低随机波动的影响。

Threats to Construct Validity. 本研究的构造有效性威胁主要存在以下四方面: 第一, 所采用的评估指标 (如 Top@k、Pass@k 和 API 调用成本) 虽能反映模型

的部分效能，但这些指标并不能全面覆盖模型的所有潜在能力；第二，“完全匹配”的评估标准要求模型必须识别出所有缺陷行，任何遗漏均判定为整体失败，该严格标准虽提升了一致性，但可能高估错误率，且无法区分部分成功与完全失败的情况；第三，为缓解行号偏差，提示词中要求模型同时输出可疑行号及对应代码语句，再通过代码匹配确定行号，但模型输出中可能出现的细微格式偏差（如缺少括号、分号等）会导致原本正确的语义定位被误判为失败；第四，尽管已选用较新的数据集并考虑模型训练截止时间，仍无法完全排除数据泄露的可能性。若测试数据中的部分缺陷或相似代码片段曾出现在模型的训练集中，则可能使模型表现出过强的泛化性能，从而威胁到评估结果的真实性和可靠性。

Threats to External Validity. 本研究的外部有效性威胁主要体现在以下三方面：首先，实验仅基于 Java 语言和两个特定数据集（HumanEval-Java, Defects4J）结论在其他编程语言、不同规模项目或更复杂的跨模块缺陷场景中的推广性仍有待验证；其次，所选模型虽在当前具有代表性，但大语言模型技术迭代迅速，新架构与更大规模模型的出现可能影响本研究结论的长期适用性；最后，实验中所涵盖的缺陷类型（如人工注入错误和历史遗留缺陷）可能未能充分覆盖工业环境中复杂 emergent 缺陷（如并发竞争条件、安全漏洞或系统设计缺陷），因此在实际应用中的效果需进一步验证。

6. 总结与未来工作

本研究通过系统的实证分析，全面评估了不同架构大语言模型在缺陷定位任务中的性能表现。在 HumanEval-Java 和 Defects4J 数据集上的实验表明，所选用的特定开源模型（Qwen2.5-coder-32b-instruct、DeepSeek-V3）与闭源模型（GPT-4.1 mini、Gemini-2.5-flash）在缺陷定位任务中呈现出不同的性能特征。研究发现，提供 bug 报告上下文能显著提升所有模型的定位性能，Few-shot 学习展示出一定的改进潜力但存在明显的边际效应，而思维链（CoT）策略的有效性高度依赖于模型自身的推理能力与训练方式。此外，不同模型在时间开销和经济成本方面表现出显著差异，为实际应用中的模型选型提供了重要依据。缺陷定位性能受到模型规模、提示策略和任务上下文等多重因素的综合影响，不能仅以开源或闭源作为评判标准。

在未来工作中，我们将从以下几个方向展开深入研究：首先，构建更全面的

评估体系，开发能够同时衡量定位准确率和解释性质量的多维指标；其次，研究面向复杂缺陷的层次化推理机制，提升模型对跨模块问题的推理能力；最后，将进一步扩展验证范围，覆盖更多编程语言、项目类型和缺陷种类，持续跟踪和评估新发布模型的表现，推动大语言模型在软件工程实践中的更有效应用。

参考文献

- [1] Wang J, Huang Y, Chen C, et al. Software testing with large language models: Survey, landscape, and vision[J]. IEEE Transactions on Software Engineering, 2024, 50(4): 911-936.
- [2] Chen T, Zhou Y, Liu J, et al. A Survey of LLMs for Software Engineering. arXiv preprint arXiv:2307.13702, 2023.
- [3] Xu K, Zhang J, Li X, et al. Code generation with LLMs: Evaluation, challenges and opportunities. EMSE, 2024.
- [4] Jiang S, Zhang J, Chen W, et al. Evaluating fault localization and program repair capabilities of existing closed-source general-purpose LLMs[C]//Proceedings of the 1st International Workshop on Large Language Models for Code. 2024: 75-78.
- [5] Bin Murtaza S, Mccoy A, Ren Z, et al. Llm fault localisation within evolutionary computation based automated program repair[C]//Proceedings of the Genetic and Evolutionary Computation Conference Companion. 2024: 1824-1829.
- [6] Wu Y, Li Z, Zhang J M, et al. Large language models in fault localisation[J]. arXiv preprint arXiv:2308.15276, 2023.和 18 相同
- [7] Luo W, Keung J, Yang B, et al. When Fine-Tuning LLMs Meets Data Privacy: An Empirical Study of Federated Learning in LLM-Based Program Repair[J]. ACM Transactions on Software Engineering and Methodology, 2024.
- [8] Yang A Z H, Le Goues C, Martins R, et al. LLMAO: LLMs for Test-Free Fault Localization. ICSE 2024.和 19 相同
- [9] Kang S, An G, Yoo S. A quantitative and qualitative evaluation of LLM-based explainable fault localization[J]. Proceedings of the ACM on Software Engineering, 2024, 1(FSE): 1424-1446.
- [10] Wong W E, Gao R, Li Y, et al. A survey on software fault localization[J]. IEEE Transactions on Software Engineering, 2016, 42(8): 707-740.

- [11]Abreu R, Zoeteweij P, Van Gemund A J C. An evaluation of similarity coefficients for software fault localization[C]//2006 12th Pacific Rim International Symposium on Dependable Computing (PRDC'06). IEEE, 2006: 39-46.
- [12]Naish L, Lee H J, Ramamohanarao K. A model for spectra-based software diagnosis[J]. ACM Transactions on software engineering and methodology (TOSEM), 2011, 20(3): 1-32.
- [13]Pearson, K., Zhang, J., & Monperrus, M. (2021). Fault localization with information theory. ICSE.
- [14]Yin Y, Shi Y, Zhao Y, et al. Multi-graph learning-based software defect location[J]. Journal of Software: Evolution and Process, 2024, 36(4): e2552.
- [15]Majd A, Vahidi-Asl M, Khalilian A, et al. SLDeep: Statement-level software defect prediction using deep-learning model on static code features[J]. Expert Systems with Applications, 2020, 147: 113156.
- [16]Pornprasit C, Tantithamthavorn C K. Deeplinedp: Towards a deep learning approach for line-level defect prediction[J]. IEEE Transactions on Software Engineering, 2022, 49(1): 84-98.
- [17]Li Y, Wang S, Nguyen T. Fault localization with code coverage representation learning[C]//2021 IEEE/ACM 43rd International Conference on Software Engineering (ICSE). IEEE, 2021: 661-673.
- [18]Wu Y, Li Z, Zhang J M, et al. Large language models in fault localisation[J]. arXiv preprint arXiv:2308.15276, 2023.
- [19]Yang A Z H, Le Goues C, Martins R, et al. Large language models for test-free fault localization[C]//Proceedings of the 46th IEEE/ACM International Conference on Software Engineering. 2024: 1-12.
- [20]Jiang S, Zhang J, Chen W, et al. Evaluating fault localization and program repair capabilities of existing closed-source general-purpose LLMs[C]//Proceedings of the 1st International Workshop on Large Language Models for Code. 2024: 75-78.
- [21]Silva A, Saavedra N, Monperrus M. Gitbug-java: A reproducible benchmark of recent java bugs[C]//Proceedings of the 21st International Conference on Mining Software Repositories. 2024: 118-122.

- [22]Brown T, Mann B, Ryder N, et al. Language models are Few-shot learners[J]. Advances in neural information processing systems, 2020, 33: 1877-1901.
- [23]Wei J, Wang X, Schuurmans D, et al. Chain-of-thought prompting elicits reasoning in large language models[J]. Advances in neural information processing systems, 2022, 35: 24824-24837.
- [24]Kang S, An G, Yoo S. A quantitative and qualitative evaluation of LLM-based explainable fault localization[J]. Proceedings of the ACM on Software Engineering, 2024, 1(FSE): 1424-1446.
- [25]Yao S, Zhao J, Yu D, et al. React: Synergizing reasoning and acting in language models[C]//International Conference on Learning Representations (ICLR). 2023.
- [26]Yao S, Yu D, Zhao J, et al. Tree of thoughts: Deliberate problem solving with large language models[J]. Advances in neural information processing systems, 2023, 36: 11809-11822.
- [27]Xu, K., Zhang, J., Li, X., et al. (2024). ~~CodeChain: Chained Reasoning for Code Tasks~~. ICSE 2024 (to appear).
- [28]Jiang N, Liu K, Lutellier T, et al. Impact of code language models on automated program repair. In 2023 IEEE/ACM 45th International Conference on Software Engineering (ICSE)[J]. IEEE Computer Society, Los Alamitos, CA, USA, 2023: 1430-1442.
- [29]Li F, Jiang J, Sun J, et al. Hybrid automated program repair by combining large language models and program analysis[J]. ACM Transactions on Software Engineering and Methodology, 2025, 34(7): 1-28.
- [30]Li Y, Cai M, Chen J, et al. Context-aware prompting for LLM-based program repair[J]. Automated Software Engineering, 2025, 32(2): 42.
- [31]Yin X, Ni C, Wang S, et al. Thinkrepair: Self-directed automated program repair[C]//Proceedings of the 33rd ACM SIGSOFT International Symposium on Software Testing and Analysis. 2024: 1274-1286.